

## Hall Effect (Oct. 1879)

Maxwell 的書上說：  $\vec{B}$  作用在導體上而非電流上，有無  $\vec{B}$  對電流分布無影響。

Hall 在 1877 年開始當 H. Rowland 的研究生。他懷疑上述說法，他想電流應被推到導線的一側而降低有效截面積使電阻增加，但他無法測得此效應。Rowland 早先已發現電線兩側間有微弱電壓，便建議 Hall 用金箔重作此實驗，而發現了 Hall effect。

$$\vec{v}_d = v_d \hat{x}, \quad \vec{B} = B \hat{y},$$

$$\vec{E}_H = E_H \hat{z}.$$

$I$  穩定時  $q$  走直線，  
 $\therefore \vec{v}_d$  ( &  $\vec{J}, \vec{E}$  ) 均勻。

$$(a) \quad F_z = qE_H + qv_d B = 0,$$

$$\therefore E_H = -v_d B \text{ 均勻}, \quad \therefore v_d = -E_H / B = V_H / wB.$$

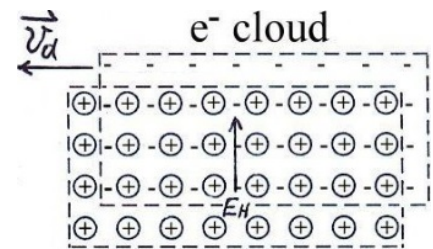
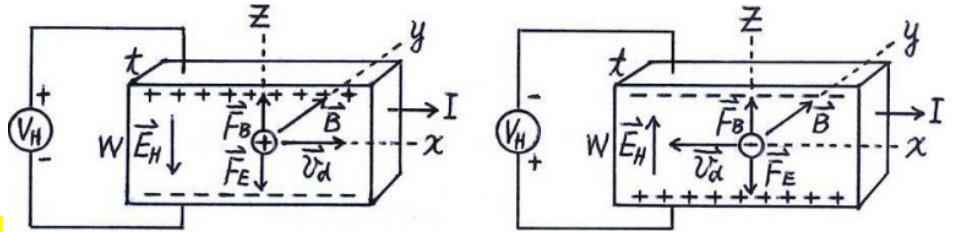
$$(b) \quad nq = J/v_d = J(-B/E_H) = (I/wt)(Bw/V_H) = IB/V_H t.$$

$\therefore$  量  $V_H$  可知  $v_d$  &  $nq$ ，若  $V_H > 0$ ，則  $q > 0$ 。

Most metals:  $e^-$ . Metals *Co, Zn, Pb, Fe* & semiconductors *Si, Ge*:  $h^+$  (hole).

Force on a wire:  $e^-$  cloud 受磁力向上而拉正離子，  
 或說正離子受到向上  $\vec{E}_H$  的作用。

H.W.: Ex. 54; Prob. 1, 2, 4, 5, 6.



## Ch. 30 Sources of the Magnetic Field

Oersted described his work ( $I \Rightarrow \vec{B}$ ) to Paris Academy of Science in Sept. 1820.

Biot-Savart announced in Oct. 1820 that  $B \propto I/r$  for a long straight wire. (They measured the period of oscillation of a magnetized needle in  $\vec{B}$  field.)

### Force between parallel wires

$$F_{21} = I_2 L B_1 = I_2 L (\mu_0 I_1 / 2\pi D) = (\mu_0 / 2\pi) I_1 I_2 L / D.$$

$$\therefore \text{force per unit length } F/L = (\mu_0 / 2\pi) (I_1 I_2 / D).$$

**Definition of 1 A:** Let  $D = 1\text{ m}$  &  $L = 1\text{ m}$ ,

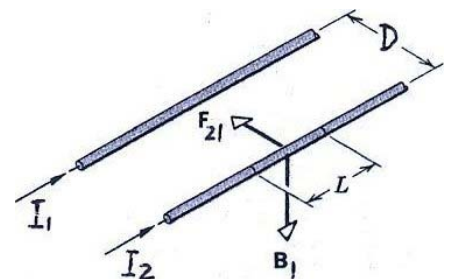
when  $I_1 = I_2 = 1\text{ A}$ ,  $F = 2 \times 10^{-7}\text{ N}$ .

$$2 \times 10^{-7}\text{ N} = (\mu_0 / 2\pi) (1\text{ A})^2 (1\text{ m}) / (1\text{ m}), \quad \therefore \mu_0 = 4\pi \times 10^{-7}\text{ N/A}^2 \text{ exact.}$$

(If  $D = 1\text{ cm}$ ,  $L = 1\text{ m}$ ,  $I_1 = I_2 = 1\text{ A}$ , then  $F = 2 \times 10^{-5}\text{ N} = 2\text{ dyne}$ .)

$1\text{ C} \equiv 1\text{ A} \cdot 1\text{ sec}$ , and the charge of electron was found to be  $1.6 \times 10^{-19}\text{ C}$ .

$1/4\pi \epsilon_0$  was measured to be  $9.0 \times 10^9\text{ N} \cdot \text{m}^2/\text{C}^2$ .



$$1/\mu_0 \epsilon_0 = (1/4\pi \epsilon_0)/(\mu_0/4\pi) = (9.0 \times 10^9 \text{ N} \cdot \text{m}^2/\text{C}^2)/(10^{-7} \text{ N} \cdot \text{sec}^2/\text{C}^2) \\ = 9.0 \times 10^{16} \text{ m}^2/\text{sec}^2 = (\text{speed of light})^2.$$

### $d\vec{B}$ of a current element

For a long straight wire  $B = \mu_0 I / 2\pi r \leftrightarrow E = \lambda / 2\pi \epsilon_0 r$ .

$dB \propto 1/r^2$ ? Biot-Savart (Dec. 1820, after Laplace's hint):

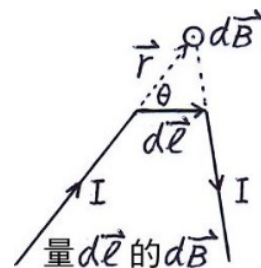
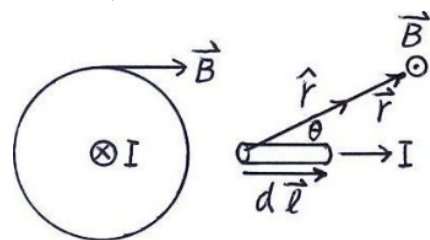
$$dB = (\mu_0/4\pi) Id\vec{\ell} \sin\theta / r^2, \quad d\vec{B} = (\mu_0/4\pi) Id\vec{\ell} \times \hat{r} / r^2.$$

### $\vec{B}$ of a moving charge

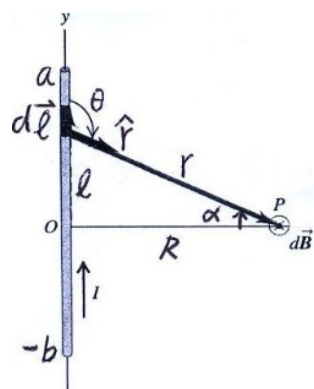
$$Id\vec{\ell} = JAd\vec{\ell} = \vec{J}Ad\vec{\ell} = nq\vec{v}_d Ad\vec{\ell} = (nqAd\vec{\ell})\vec{v}_d = (dQ)\vec{v}_d,$$

$$\therefore d\vec{B} = (\mu_0/4\pi)(dQ)\vec{v}_d \times \hat{r} / r^2. \quad \text{但只適用於:}$$

(a) 緩慢且非加速; 或 (b) 電流圈中的穩定電流 (雖電荷有加速)。



例:



$$B = (\mu_0 I / 4\pi) \int d\ell \sin\theta / r^2. \quad \sin\theta = \sin(\alpha + \pi/2) = \cos\alpha,$$

$$\ell = R \tan\alpha, \quad d\ell = R d\alpha / \cos^2\alpha, \quad 1/r^2 = \cos^2\alpha / R^2.$$

$$B = (\mu_0 I / 4\pi) \int_{\alpha_1}^{\alpha_2} \cos\alpha d\alpha / R = (\mu_0 I / 4\pi R) (\sin\alpha_2 - \sin\alpha_1)$$

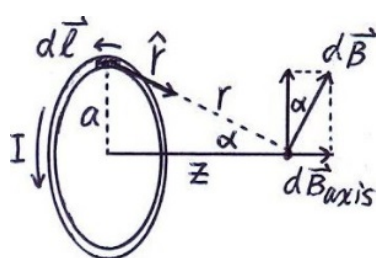
$$= (\mu_0 I / 4\pi R) [a / (R^2 + a^2)^{1/2} + b / (R^2 + b^2)^{1/2}].$$

$$(1) \quad a = b, \quad B = (\mu_0 I / 4\pi) 2a / R(R^2 + a^2)^{1/2}.$$

$$(2) \quad a, b \rightarrow \infty, \quad B = \mu_0 I / 2\pi R.$$

$$(3) \quad b = 0, a \rightarrow \infty, \quad B = \mu_0 I / 4\pi R.$$

例: A circular loop



$$d\vec{\ell} \perp \vec{r}, \quad \therefore dB = (\mu_0/4\pi) Id\ell / r^2,$$

$$dB_{axis} = dB \sin\alpha$$

$$= (\mu_0/4\pi) (Id\ell / r^2) (a/r).$$

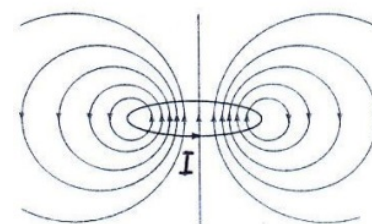
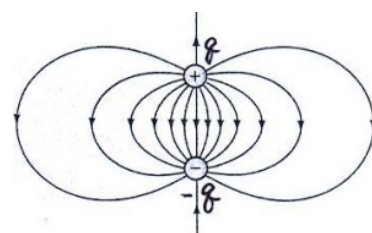
$$B_{axis} = (\mu_0 I a / 4\pi r^3) \int_0^{2\pi} d\ell$$

$$= \mu_0 I a 2\pi a / 4\pi (a^2 + z^2)^{3/2} = \mu_0 I a^2 / 2(a^2 + z^2)^{3/2}.$$

$$(1) \quad \text{At } z = 0, \quad B_{axis} = \mu_0 I / 2a. \quad \leftrightarrow \text{直導線 } B = \mu_0 I / 2a\pi.$$

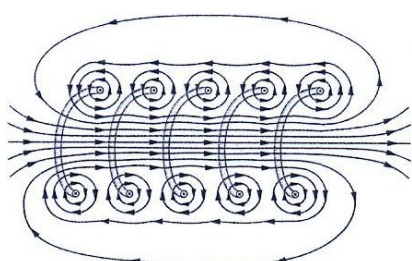
$$(2) \quad \text{When } z \gg a, \quad B_{axis} \approx \mu_0 I a^2 \pi / 2\pi z^3 = \mu_0 \mu / 2\pi z^3$$

$$\leftrightarrow E_{axis} \approx p / 2\pi \epsilon_0 z^3. \quad (\text{右圖})$$

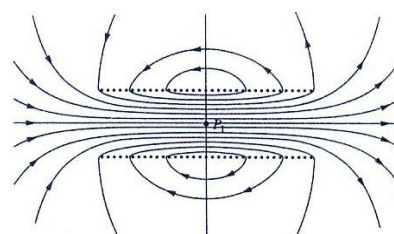


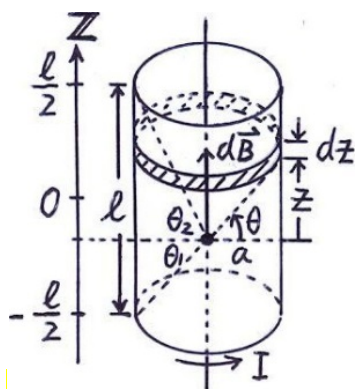
例: solenoid (螺管)

繞得很鬆



繞得很緊密





繞得很緊密，# of turns per unit length  $n = N/\ell$ 。

由圓形電流圈的  $B_{axis}$  可知  $dB = \mu_0(ndzI)a^2/2(a^2 + z^2)^{3/2}$ 。

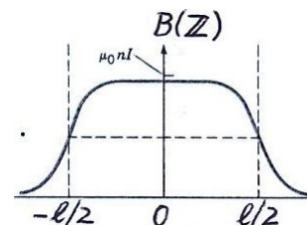
代  $z = a \tan \theta$ ， $dz = a d\theta/\cos^2 \theta$ ，得

$$dB = [\mu_0 n I a^3 d\theta / \cos^2 \theta] / 2(a^2 + a^2 \tan^2 \theta)^{3/2}$$

$$= [\mu_0 n I d\theta / \cos^2 \theta] / [2/\cos^3 \theta] = \mu_0 n I d\theta \cos \theta / 2.$$

$$\therefore B = (\mu_0 n I / 2) \int_{\theta_1}^{\theta_2} \cos \theta d\theta$$

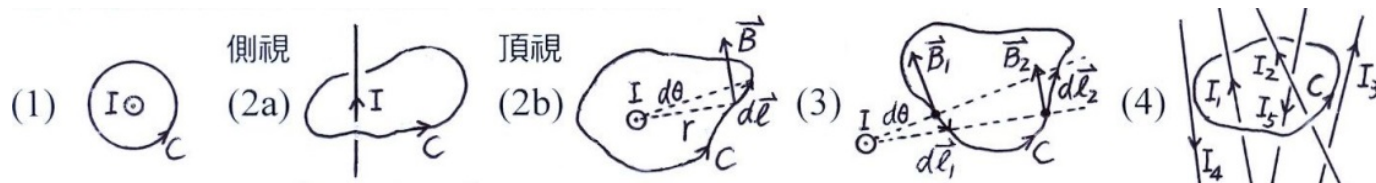
$$= (\mu_0 n I / 2) [\sin \theta_2(Z) - \sin \theta_1(Z)].$$



無限長螺管， $\theta_1 = -90^\circ$ ， $\theta_2 = 90^\circ$ ， $\therefore B = \mu_0 n I$ 。

**Ampere's law** (Ampere 不喜歡 Biot-Savart 的工作，因為 (a) 實驗沒精確到足以宣稱  $\sin \theta$ ；(b) 不存在 isolated current element，它永遠是線路的一部份)

先考慮無限長直導線電流  $I$  與積分迴路  $C$ 。



(1)  $C$  正圓形： $\oint_C \vec{B} \cdot d\vec{\ell} = \oint_C B d\ell = (\mu_0 I / 2\pi r) 2\pi r = \mu_0 I$ 。

(2)  $C$  任意形狀： $\vec{B} \cdot d\vec{\ell} = B d\ell_{\parallel} = (\mu_0 I / 2\pi r) r d\theta = (\mu_0 I / 2\pi) d\theta$ ，ind. of  $r$ ，  
 $\therefore \oint_C \vec{B} \cdot d\vec{\ell} = \mu_0 I$  與正圓形相同 (或  $= (\mu_0 I / 2\pi) \int_0^{2\pi} d\theta = \mu_0 I$ )。

(3)  $I$  在  $C$  外部： $\therefore$  成對抵消， $\therefore \oint_C \vec{B} \cdot d\vec{\ell} = 0$  (或  $= (\mu_0 I / 2\pi) \int_{\theta_0}^{\theta_0} d\theta = 0$ )。

(4) 多電流： $\oint_C \vec{B} \cdot d\vec{\ell} = \oint_C (\sum \vec{B}_i) \cdot d\vec{\ell} = \sum \mu_0 I_i = \mu_0 I_{encl}$ ， $I_{encl}$  是在  $C$  內的總電流。

**Ampere's law**： $\oint_C \vec{B} \cdot d\vec{\ell} = \mu_0 I_{encl}$  for current loop &  $C$  of any shapes， $I_{encl}$  是穿過以

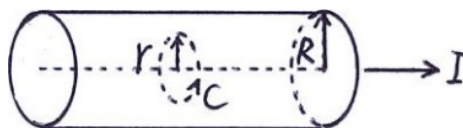
$C$  為邊界的任何面的總電流， $I$  &  $C$  的方向由右手決定。

此 law 可由 Biot-Savart  $\vec{B} = (\mu_0 / 4\pi) q \vec{v} \times \hat{r} / r^2$  導得。但後來發現此  $\vec{B}$  只適用於電荷緩慢且不加速時，或雖電荷有加速但是在電流圈的穩定電流中時，而 Ampere's law 卻適用於任何情況，因此應是由 Ampere's law 在特殊條件下導出 Biot-Savart law。



例：長圓柱中的均勻電流

$$\oint_C \vec{B} \cdot d\vec{\ell} = \mu_0 I_{encl}$$



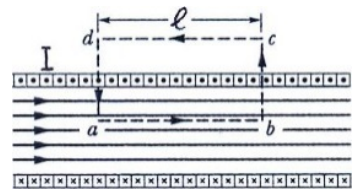
$$\Rightarrow B 2\pi r = \begin{cases} \mu_0 (I r^2 / R^2) & \text{for } r < R \\ \mu_0 I & \text{for } r > R \end{cases} \Rightarrow B(r) = \begin{cases} (\mu_0 / 2\pi) (I / R^2) r & \text{for } r < R \\ \mu_0 I / 2\pi r & \text{for } r > R \end{cases}.$$



例：極緊密的無窮長螺管（電流  $I$ 、每單位長度繞  $n$  圈）

內部  $\vec{B}$  不能有徑向分量（否則有  $\oint_S \vec{B} \cdot d\vec{A} \neq 0$ ），也不能有圓切線分量（否則有  $\oint_{C'} \vec{B} \cdot d\vec{\ell} \neq 0$  但  $C'$  內無電流）。

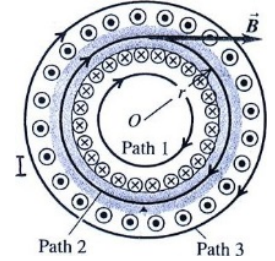
$$\oint_C \vec{B} \cdot d\vec{\ell} = \int_a^b \vec{B} \cdot d\vec{\ell} = B\ell = \mu_0(n\ell I) \Rightarrow B = \mu_0 n I \quad (\text{與前同})。$$



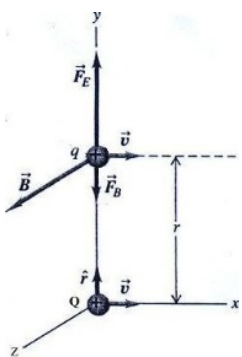
例：Toroid（電流  $I$ 、共繞  $N$  圈）

$$\oint_C \vec{B} \cdot d\vec{\ell} = \mu_0 I_{\text{encl}} \Rightarrow B 2\pi r = \mu_0 (NI) \Rightarrow B(r) = \mu_0 NI / 2\pi r。$$

當  $r \rightarrow \infty$ ， $N/2\pi r = n$  時， $B = \mu_0 n I$ 。



$\vec{F}_E$  &  $\vec{F}_B$  between charged particles



$Q$  在  $q$  處建立磁場  $\vec{B} = (\mu_0/4\pi)(Qv/r^2)\hat{z}$ ，

故  $q$  受磁力  $\vec{F}_B = qv\hat{x} \times \vec{B} = -(\mu_0/4\pi)(qQv^2/r^2)\hat{y}$ 。

而  $q$  受電力  $\vec{F}_E = q\vec{E} \approx (1/4\pi\epsilon_0)(qQ/r^2)\hat{y}$ ，

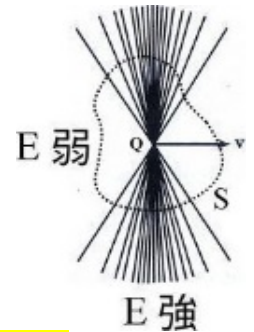
$$\therefore F_B/F_E = -\mu_0 \epsilon_0 v^2 = -v^2/c^2。$$

但總力  $\vec{F}_E + \vec{F}_B = m d^2\vec{r}/dt^2$  與慣性座標無關，而在

它們的靜止座標中  $F'_E = qQ/4\pi\epsilon_0 r^2$ ， $F'_B = 0$ ，

$$\therefore F_E + F_B = F'_E + F'_B = qQ/4\pi\epsilon_0 r^2，$$

故  $F_E = qQ/4\pi\epsilon_0 r^2 - F_B \approx (1 + v^2/c^2) qQ/4\pi\epsilon_0 r^2$ 。（右上圖）



H.W.: Ex. 9, 14, 21, 22; Prob. 1, 3, 4, 5, 8, 9.

## Ch. 31 Electromagnetic Induction

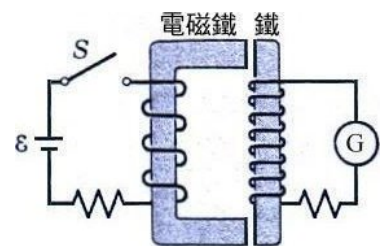
Oersted found  $I \Rightarrow \vec{B}$  in 1820. Within weeks, electromagnet was found.

那磁場  $\vec{B}$  能產生電流  $I$  嗎？Joseph Henry found in Aug. 1830 that a current was induced by a changing magnetic field. But he did not publish immediately.

Magnetic flux  $\phi_B \equiv \int_S \vec{B} \cdot d\vec{A}$  for any  $\vec{B}(\vec{r}, t)$  & surface  $S$ ，

unit: 1 weber (W)  $\equiv 1 T \cdot 1 m^2$ 。

Gauss's law for  $\vec{B}$ :  $\oint_S \vec{B} \cdot d\vec{A} = 0$  ( $= q_M$ , but  $q_M = 0$ ).



Faraday found (1831):

(1) Fixed coil, changing  $\vec{B}(\vec{r}, t)$  (右圖)

